

### 3.4 冬季

#### 3.4.2 質量濃度及び組成

##### (1) 測定値の妥当性の検証

###### ①イオンバランスの確認

図 3-4-1 に、調査期間中の各地点の各日のデータから求めた陽イオン ( $\text{Na}^+$ 、 $\text{NH}_4^+$ 、 $\text{K}^+$ 、 $\text{Ca}^{2+}$ 、 $\text{Mg}^{2+}$ ) 及び陰イオン ( $\text{Cl}^-$ 、 $\text{NO}_3^-$ 、 $\text{SO}_4^{2-}$ ) それぞれの合計当量濃度の比較を示す。データの取り扱いは春季（3.1.2 (1)）と同様である。陰イオン当量濃度合計／陽イオン当量濃度合計は概ね 0.8～1.2 に収まっており、全 331 データ中、29 データが 0.8 未満であった。富士については測定期間の全てが 0.8 未満であった。また、1.2 を超過したものは川崎市の 1/29 のデータ 1 つのみであった。

###### ②マスクロージャーモデルによる検証

図 3-4-2 に、調査期間中の各地点の各日のデータから推定した質量濃度と、標準測定法による質量濃度の比較を示す。推定式とデータの取り扱いは春季（3.1.2 (1)）と同様である。標準測定法による質量濃度に対する推定質量濃度の比は 329 データ中 0.8 未満が 3 データ、1.2 を超過したものが 69 データであった。標準測定法による質量濃度が低い ( $5 \mu\text{g}/\text{m}^3$  未満) 日は、329 データ中 25 データが該当し、10 データが 1 月 25 日であった。比が大きく、分布からのずれがあったのは、1 月 18 日、22 日、27 日の大和、1 月 27 日の富士であり比が小さく、分布からのずれがあった地点ほとんどなかった。

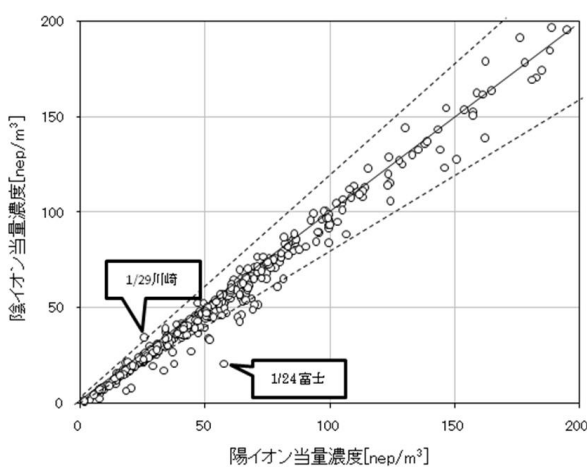


図 3-4-1 イオンバランス

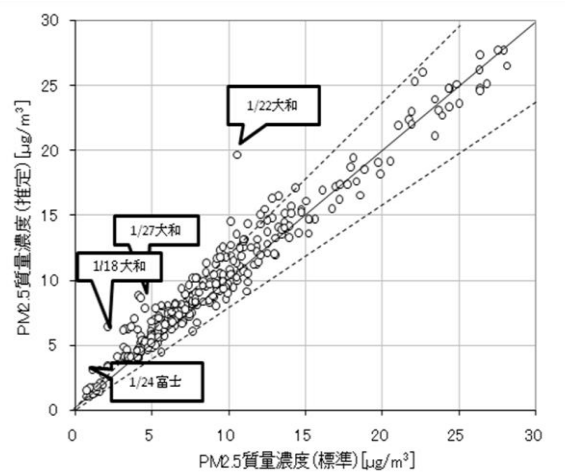


図 3-4-2 マスクロージャーモデル

##### (2) 季節平均濃度と組成の分布

図 3-4-3 に、調査期間中の各地点の PM2.5 平均濃度を地図に示す。また、一部の地点については、PM2.5 主要成分（イオン成分、炭素成分）の組成を円グラフに示す。PM2.5 平均濃度が、 $15 \mu\text{g}/\text{m}^3$  を超えた地点は、真岡であった。平成 30 年度の冬季と比較すると、甲

府、前橋、鴻巣以外の地点では減少していた。

主要成分組成は、全体的に  $\text{NO}_3^-$ 、 $\text{SO}_4^{2-}$ 、 $\text{NH}_4^+$  の 3 つのイオン比率が拮抗する傾向となっているが、長野、静岡、浜松、富士、勝浦は  $\text{NO}_3^-$  と比較して  $\text{SO}_4^{2-}$  の割合が高い傾向がみられた。また、富士は最も  $\text{SO}_4^{2-}$  の濃度が低かった（絶対値での比較）。OC については、土浦、富士が全地点平均値と比べ多い傾向がみられた。EC については、全地点平均値と比べ、千葉、大和、大月、富士、静岡、で低い傾向がみられた。

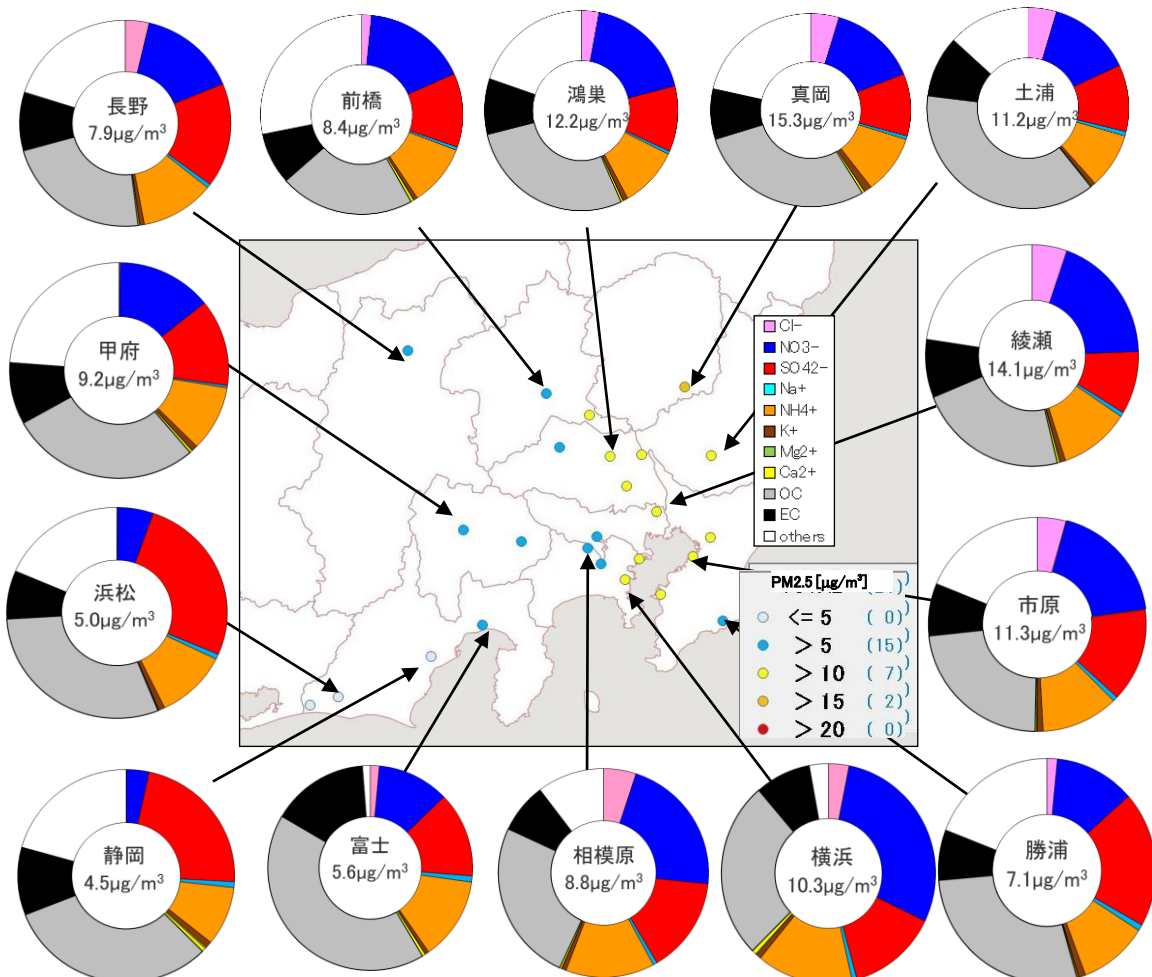


図 3-4-3 PM2.5 平均濃度(地図)と PM2.5 主要成分組成(円グラフ)

### 3.4.3 水溶性イオン成分濃度

図 3-4-4 に、調査期間中の  $\text{SO}_4^{2-}$  及び  $\text{SO}_2$  の平均濃度分布を示す。 $\text{SO}_4^{2-}$  は前橋、富士、静岡で比較的低い傾向にあったが、平成 30 年度ほど各地点で特色のあるばらつきはみられなかった。 $\text{SO}_2$  は東京湾周辺（相模原、横浜、富津）でやや高い傾向が見られた。図 3-4-5 に、調査期間中の  $\text{NO}_3^-$  及び  $\text{NOx}$  の平均濃度分布を示す。 $\text{NOx}$  は沿岸部を中心に全体的にやや高い傾向が見られた。 $\text{NO}_3^-$  は、真岡、太田、鴻巣、幸手、さいたま、市原、富津、千葉、綾瀬、横浜でやや高く、PM2.5 の濃度分布と似た傾向が見られた。図 3-4-6 に、調査期間中の  $\text{Cl}^-$  の平均濃度分布を示す。 $\text{Cl}^-$  は、低温になる冬季には粒子成分として捕捉されやすく、関東の中部及び東部地域の地点で  $0.4 \mu\text{g}/\text{m}^3$  より高くなった。図 3-4-7 に、調査期間中の  $\text{K}^+$  の平均濃度分布を示す。 $\text{K}^+$  は真岡、幸手、綾瀬が比較的高い結果となった。

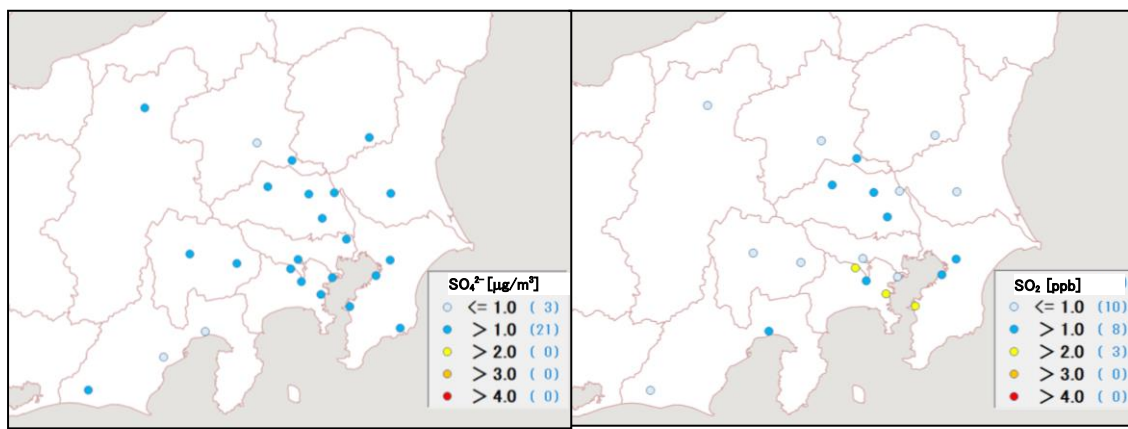


図 3-4-4 SO<sub>4</sub><sup>2-</sup>(左)及びSO<sub>2</sub>(右)の平均濃度分布

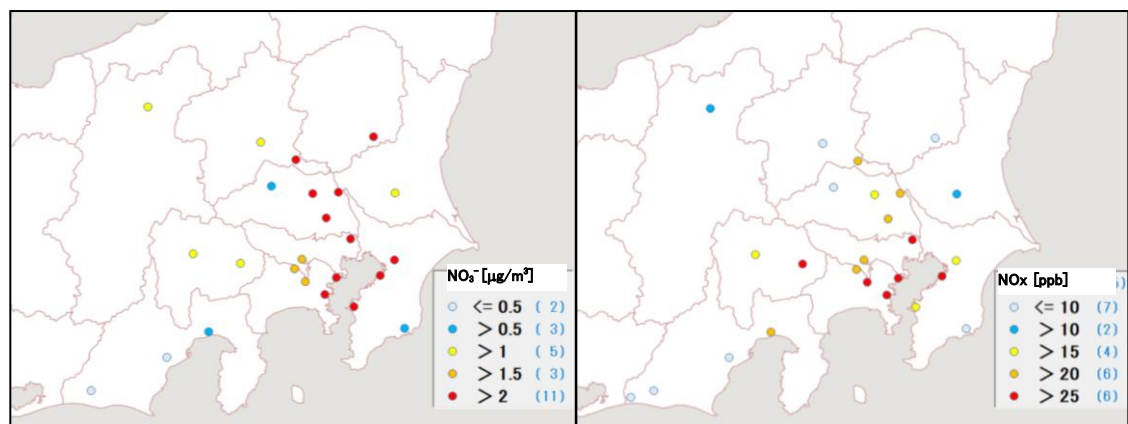


図 3-4-5 NO<sub>3</sub><sup>-</sup>(左)及びNO<sub>x</sub>(右)の平均濃度分布

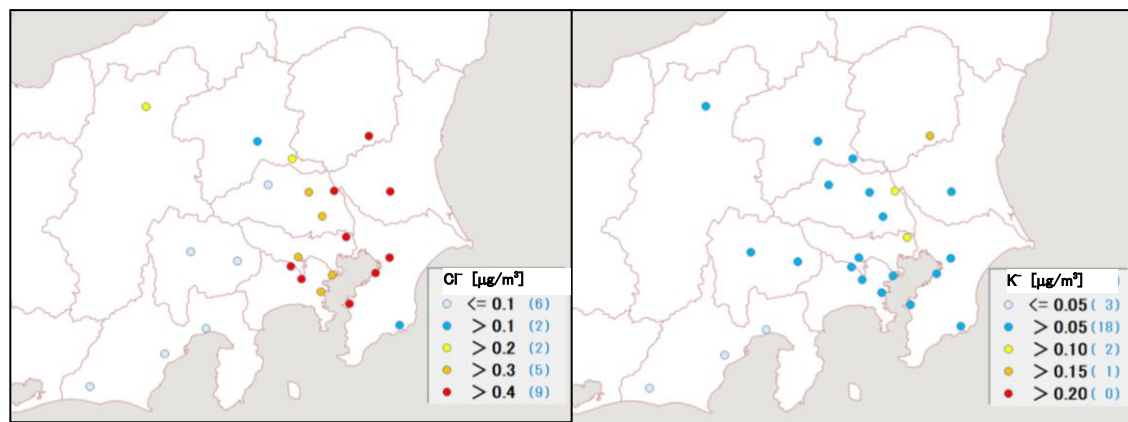


図 3-4-6 Cl<sup>-</sup>の平均濃度分布

図 3-4-7 K<sup>+</sup>の平均濃度分布

### 3.4.4 炭素成分濃度

図3-4-8に、調査期間中のEC及びOCの平均濃度分布を示す。ECで $1\mu\text{g}/\text{m}^3$ を超えた地点は、土浦、太田、真岡、鴻巣、幸手、千葉、綾瀬の7か所であった。OCは土浦、真岡、が $4\mu\text{g}/\text{m}^3$ を超え、太田、鴻巣、幸手、さいたま、千葉、綾瀬で $3\mu\text{g}/\text{m}^3$ を超える値となつた。図3-4-9に、調査期間中のWSOC及びOxの平均濃度分布、図3-4-10にOCに占めるWSOCの割合(WSOC/OC)及びTCに占めるOCの割合(OC/TC)の分布を示す。WSOCについては、真岡、富津、千葉が比較的高い傾向にあった。Oxは35 ppbを超えた地点はなく濃度差は小さかった。WSOC/OCについては市原、富津、千葉以外はおおむね70%以下であった。OC/TCは勝浦、浜松以外で60%～80%の範囲に収まり、比率の差は小さく顕著な傾向は見られなかった。図3-4-11に、調査期間中のNMHCの平均濃度分布を示す。NMHCはさいたまの0.19 ppmCが最も高かったが、顕著に高い地点はなかった。図3-4-12にOCとOx及びOCとNMHCの関係を示す。OCとOxの関係及びOCとNMHCでは相関が認められなかった。図3-4-13に、OCとK<sup>+</sup>及びWSOCとK<sup>+</sup>の関係を示す。OCとK<sup>+</sup>、WSOCとK<sup>+</sup>ともに相関があった。図3-4-14に、char-ECとK<sup>+</sup>の関係を示す。char-ECとK<sup>+</sup>の相関は認められなかった。平成30年度と同様OCとOxには相関が認められず、冬季については光化学二次生成の寄与は小さいことが示唆された。

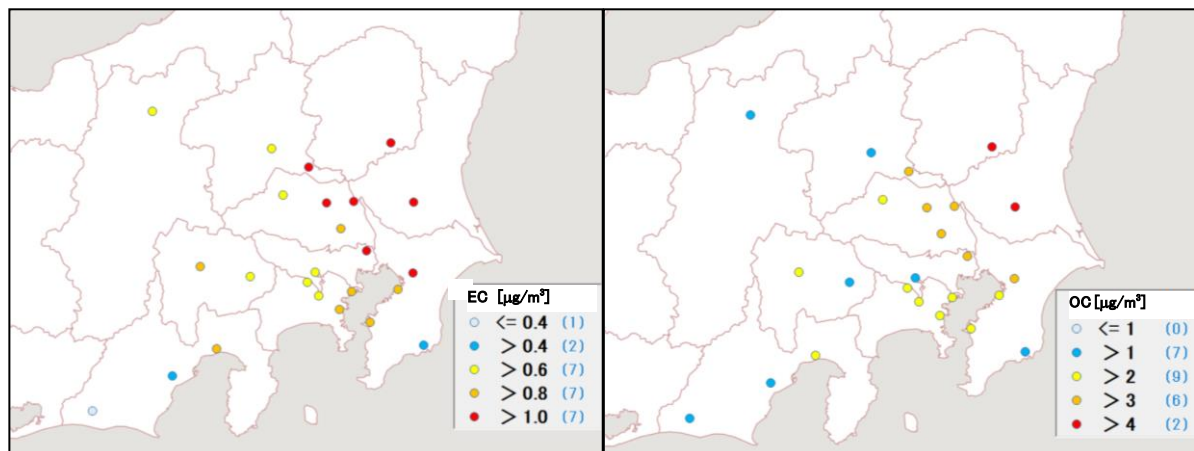


図3-4-8 EC(左)及びOC(右)の平均濃度分

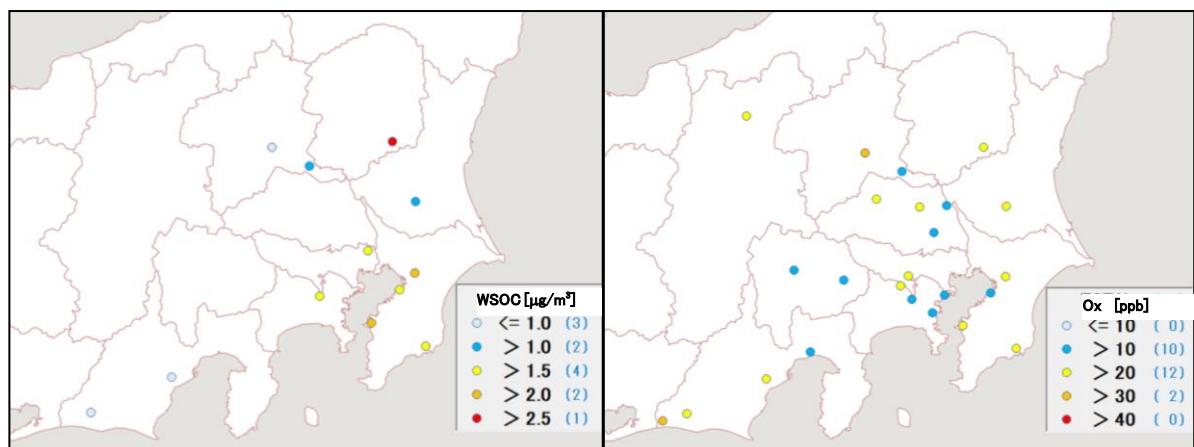


図3-4-9 WSOC(左)及びOx(右)の平均濃度分布

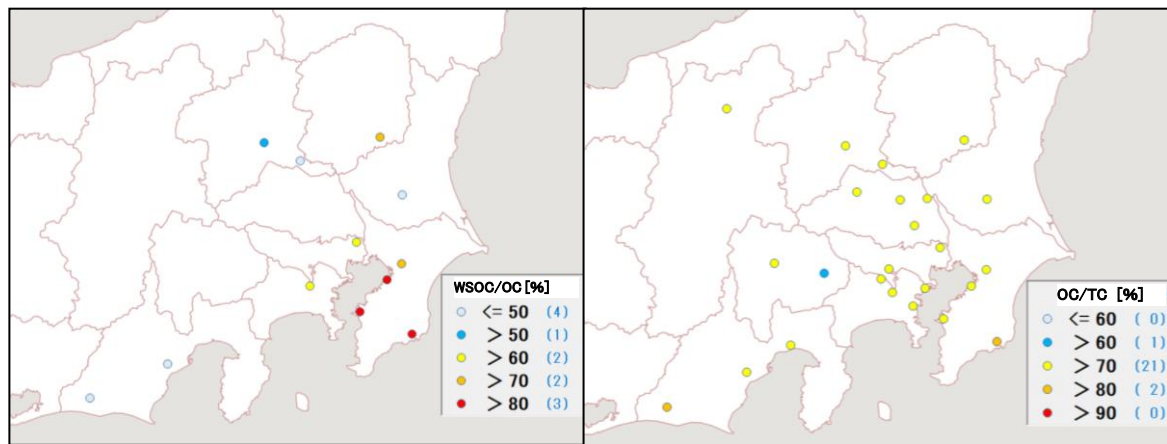


図 3-4-10 WSOC/OC(左)及び OC/TC(右)の平均分布

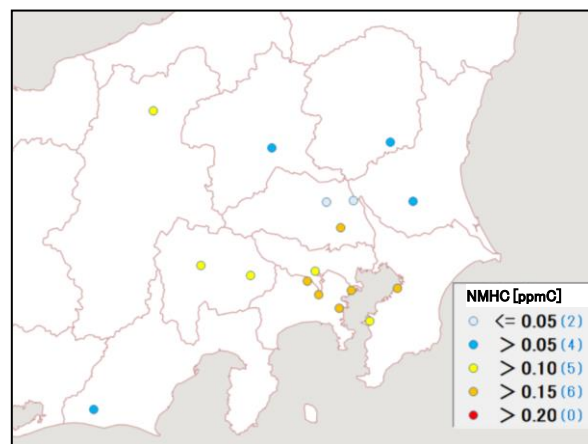


図 3-4-11 NMHC の平均濃度分布

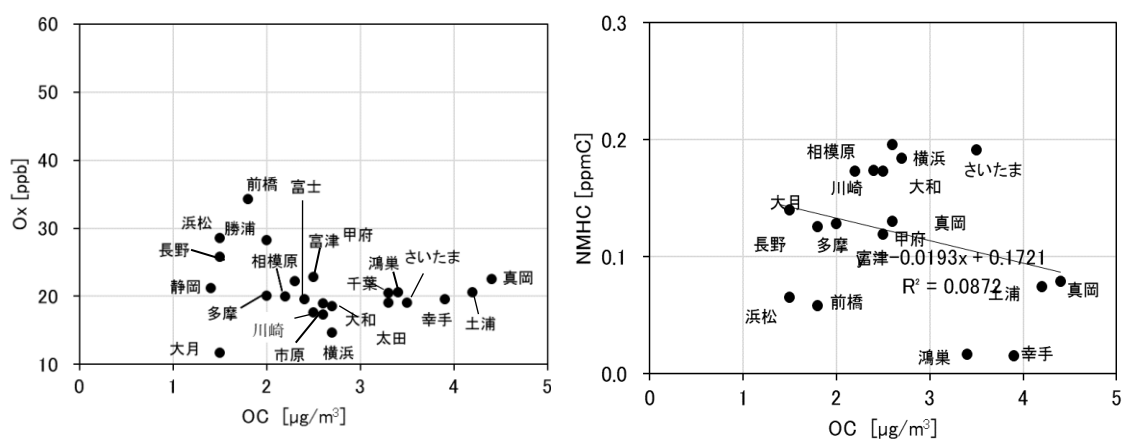


図 3-4-12 OC と Ox(左)及び OC と NMHC(右)の関係

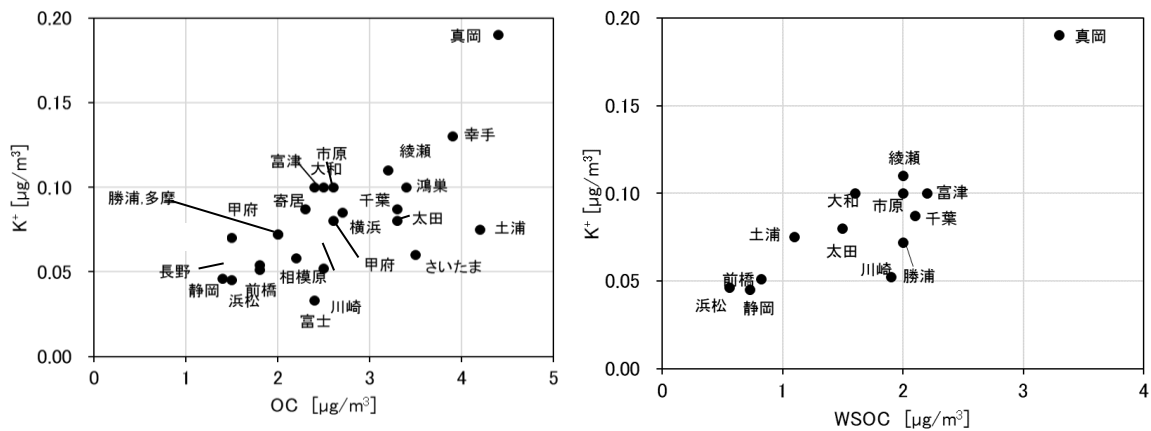


図 3-4-13 OC と  $K^+$ (左) 及び WSOC と  $K^+$ (右) の関係

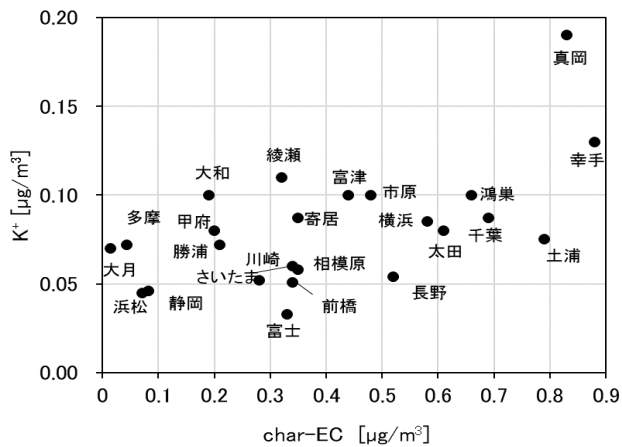


図 3-4-14  $char-EC$  と  $K^+$  の関係

### 3.4.5 無機元素濃度

図 3-4-15～28 に、ナトリウム (Na)、アルミニウム (Al)、カリウム (K)、カルシウム (Ca)、バナジウム (V)、クロム (Cr)、マンガン (Mn)、鉄 (Fe)、ニッケル (Ni)、銅 (Cu)、亜鉛 (Zn)、ヒ素 (As)、セレン (Se)、鉛 (Pb) の平均濃度分布をそれぞれ示す。V、Cr、Mn、Fe、Cu、Zn は沿岸部や都市部などで相対的に高い傾向が見られ、工業活動や都市活動との関連が示唆される。As は地域的な差は小さく顕著な傾向は見られなかつたが、令和元年度は千葉が比較的高かった。Al、Ca については、平成 30 年度に比較的高値であった東京湾周辺は、令和元年度は高値を示さなかつた。これは、平成 30 年度冬季の降水量が非常に少なかつたため乾燥し、土壤粒子の巻き上げがあつたものと推察される。

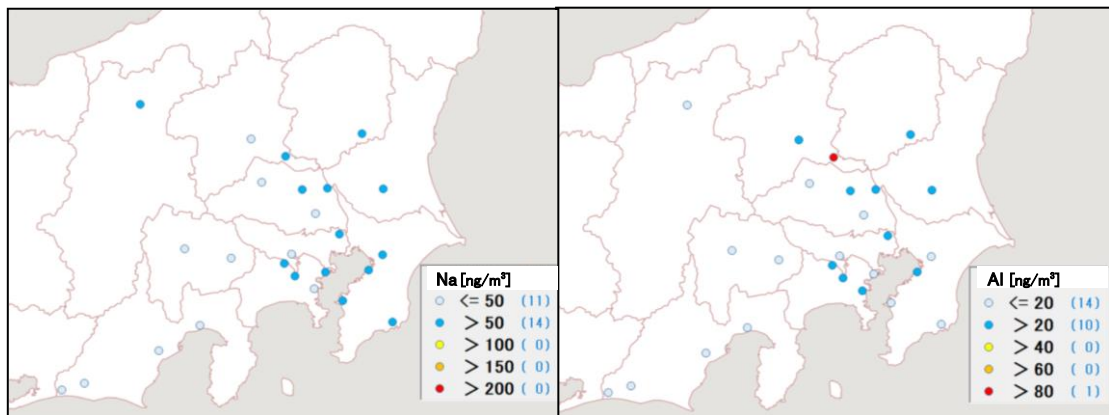


図 3-4-15 ナトリウムの平均濃度分布

図 3-4-16 アルミニウムの平均濃度分布

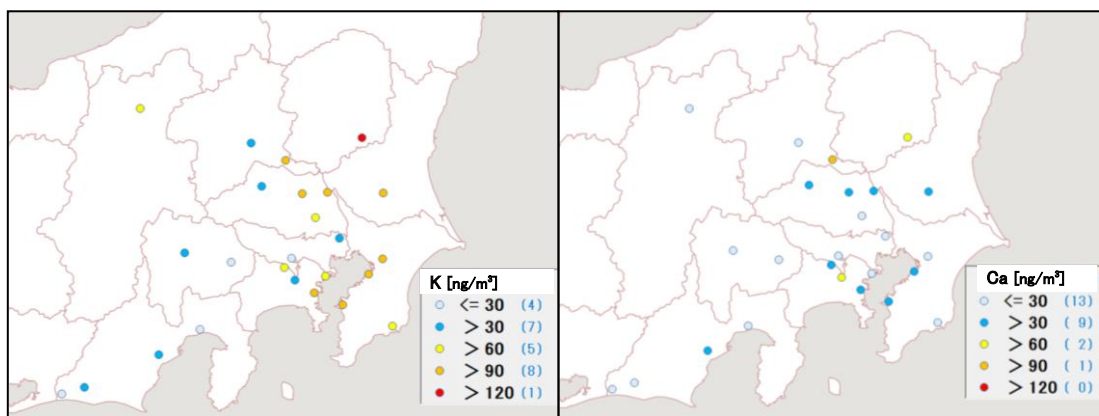


図 3-4-17 カリウムの平均濃度分布

図 3-4-18 カルシウムの平均濃度分布

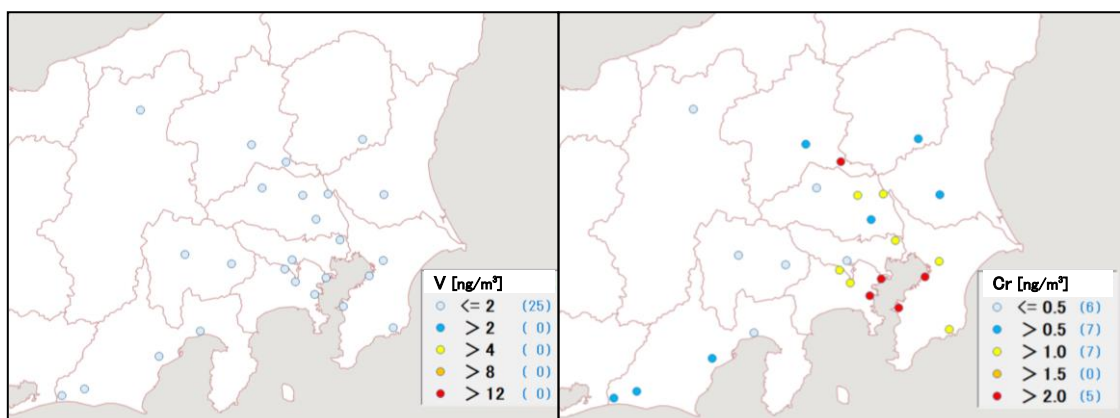


図 3-4-19 バナジウムの平均濃度分布

図 3-4-20 クロムの平均濃度分布

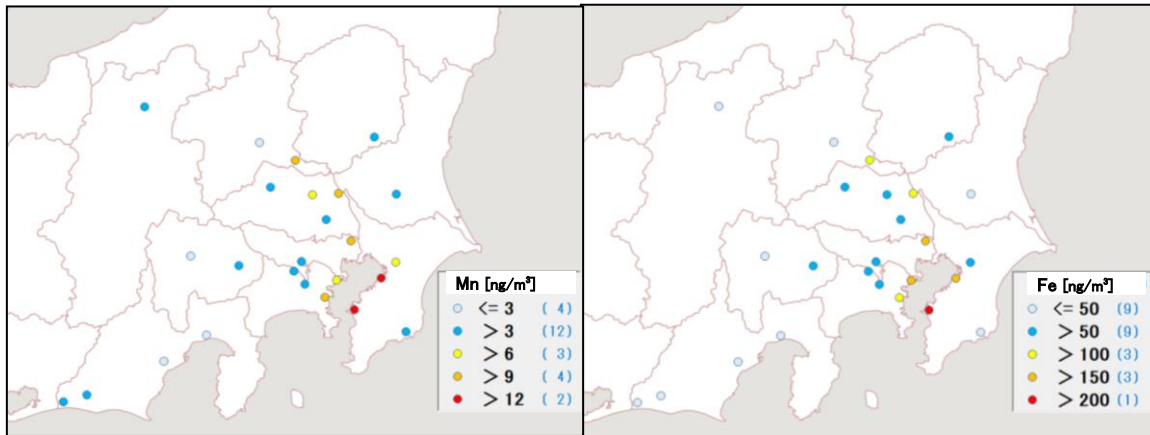


図 3-4-21 マンガンの平均濃度分布

図 3-4-22 鉄の平均濃度分布

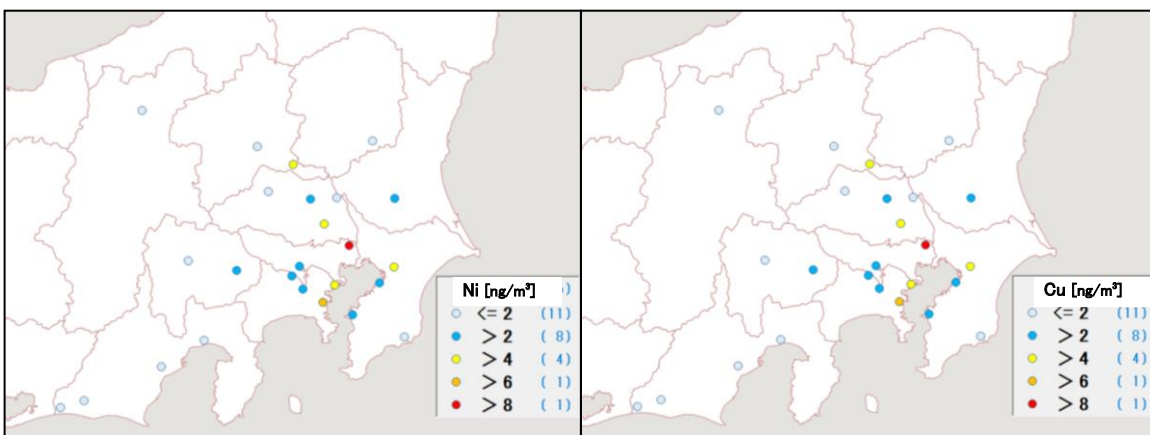


図 3-4-23 ニッケルの平均濃度分布

図 3-4-24 銅の平均濃度分布

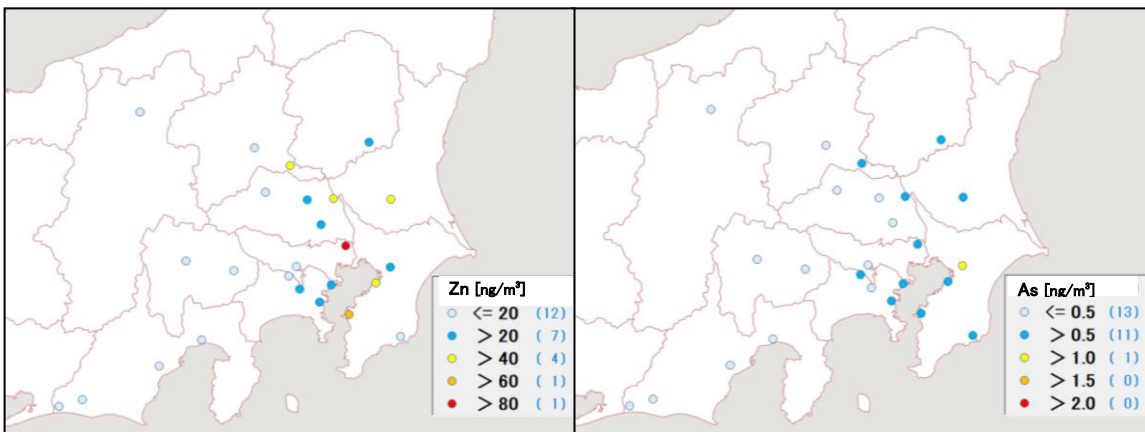


図 3-4-25 亜鉛の平均濃度分布

図 3-4-26 ヒ素の平均濃度分布

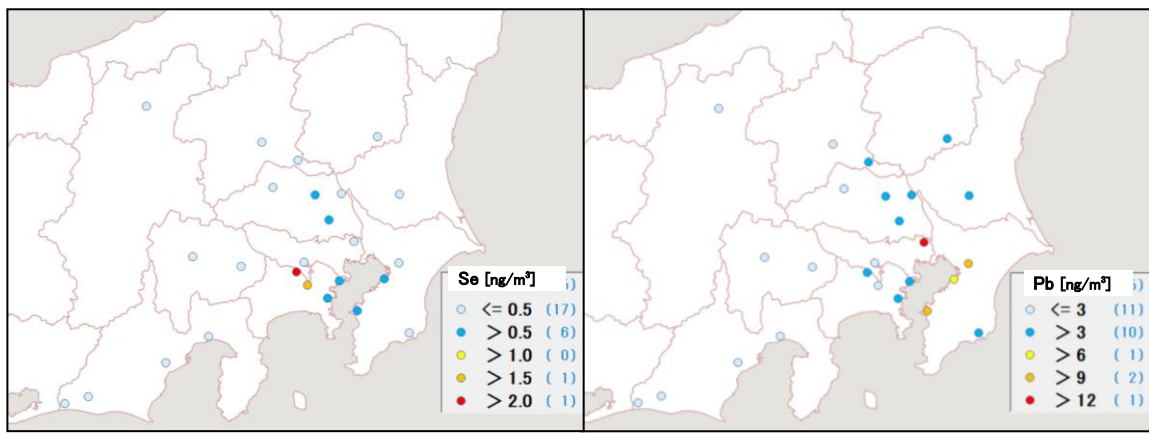


図 3-4-27 セレンの平均濃度分布

図 3-4-28 鉛の平均濃度分布